

2. Машини для земляних робіт: Навчальний посібник / Хмара Л.А., Кравець С.В., Нічке В.В., Назаров Л.В., Скоблюк М.П., Нікітін В.Г. Під загальною редакцією проф.. Хмари Л.А. та проф. Кравця С.В. Рівне – Дніпропетровськ – Харків. – 2010. – 557 с.
3. Гулиа Н.В. Удивительная механика. В поисках «энергетической капсулы» / Н.В. Гулиа // Издательство: НЦ ЭНАС 2006 г. - 176 с.
4. Гулиа, Н.В. Инерционные двигатели для автомобилей – М.: Транспорт, 1974.– 62 с.
5. Волоцкий В.М. Гидроприводы машин и их оборудование. Учебный курс. – Харьков: Гидроэлекс, 1995, – 155 с.
6. Ремарчук М.П., Холодов А.П., Чмуж Я.В. Байрамашвілі Т.Т. Енергозбереження в гідросистемі бульдозера//Вісник харківського національного технічного університету сільського господарства ім. Петра Василенка. Харків: 2010. - №94 – С. 385-392.
7. Алексеева Т.В. Гидропривод и гидроавтоматика землеройно-транспортных - М.: Машиностроение, 1966. - 147 с.
8. Алексеева Т.В., Ремизович Ю.В., Шерман Использование принципа аккумулирования энергии в системе управления землеройно-транспортной машины // Исслед. и испытания дорож. и строит. машин: Сб. науч. работ/ СиБАДИ. – 1969. - Вып. 1. - С. 70-75.
9. Щербаков В.Ф. Рекуперативная система привода гидроподъёмных машин // Строительные и дорожные машины. 2008. № 9. С. 49-51.
10. Щербаков В.Ф. Энергосберегающие гидроприводы строительных и дорожных машин // Строительные и дорожные машины. 2011. № 10. С. 1-2.
11. Спиридонов А.А. Планирование эксперимента при исследовании технологических процессов. М.: Машиностроение, 1981. – 184 с.

УДК 622.339

**С. В. КРАВЕЦЬ, докт. техн. наук, О. Л. РОМАНОВСЬКИЙ, канд. техн. наук,
В. Д. КИРИКОВИЧ, ст. викладач, А. А. НЕЧИДЮК, канд. техн. наук.**

Національний університет водного господарства та природокористування

СИЛИ І ПАРАМЕТРИ ФРЕЗЕРНОГО РОБОЧОГО ОРГАНА ДЛЯ РОЗРОБКИ ГРУНТУ У ВОДНОМУ СЕРЕДОВИЩІ

В Національному університеті водного господарства та природокористування створений землерийний робочий орган для добування корисних копалин, який розробляє ґрунт з відділенням від масиву і подачею його у суспензне середовище, при змішуванні з яким бурштин звільнюється і спливає на поверхню [7].

На сьогодні відомо, що найменша енергомісткість забезпечується при розробці ґрунту на критичну глибину [1], разом з тим відсутні відомості про вплив гідростатичного тиску на питомий опір різання.

Для досліджень питомого опору різання ґрунту при наявності гідростатичного тиску скористаємося рис. 1 - 2. При цьому в якості вихідних передумов покладено:

- 1) ґрунт – однорідне ізотропне середовище, яке характеризується зчепленням, внутрішнім і зовнішнім тертям, щільністю і вологістю;
- 2) елемент стружки розглядаємо як тверде тіло у вигляді двох трикутних призм з двома симетричними конічними секторами по боках (рис.1 в);
- 3) критична глибина різання постійна незалежно від того працює ніж у режимі заглиблення чи в сталому режимі;
- 4) впливом швидкості різання і силою тяжіння ґрунту на опір його руйнування знехтувано [2, 3, 4];
- 5) закон розподілу нормального тиску на лобову площину ножа в зоні сколювання ґрунту прийнятий лінійним по глибині [5, 6];
- 6) суспензія (пульпа) – однорідне середовище з певною густиноро [8].

Для визначення питомого опору у відповідності з рис. 1 склададемо рівняння рівноваги сил на вісь ОХ:

$$\sum P_x = -dT_c \cdot \cos \psi - 2dT_{\delta_{OK}} \cos \delta \cdot \cos \psi - dN_c \cdot \sin \psi + dN' \sin(\alpha_p + \varphi) \sin \psi = 0. \quad (1)$$

Після підстановки значень dN_c , dN' , dT_c , $dT_{\delta_{OK}}$ спираючись на попередню статтю [1] при умові, що $h_k = h_{k1} = h_{k2}$, а ширина тіла сколу поверху B_1 рівна ширині ножа b_c , отримаємо рівняння:

$$\begin{aligned} & - \left(q_0 + \frac{q_{kp} - q_0}{2h_k} k_{nep} h \right) \frac{b_{ci} \sin(\alpha_p + \varphi) dh}{\cos \varphi \cdot \sin \alpha_p} + (\tg \varphi_0 \cos \psi + \sin \psi) \left\{ - \frac{b_{ci} \cos(\alpha_p + \varphi + \psi)}{\cos \varphi \cdot \sin \alpha_p} \times \right. \\ & \times \left(q_0 + \frac{q_{kp} - q_0}{2h_k} k_{nep} h \right) dh + \cos \psi \cdot \rho_c \cdot g \cdot h_{n.\phi.} (\ctg \alpha_p + \ctg \psi) dh + 2 \cos \gamma \cdot \cos \psi \cdot \rho_c \times \\ & \times g \cdot h_{n.\phi.} \left[(\ctg \alpha_p + \ctg \psi) (2h_k - h) \frac{dh}{\sin \gamma} - (\ctg \alpha_p + \ctg \psi) (h_k - h) \frac{dh}{\sin \gamma} \right] \left. \right\} + c \cdot \cos \psi \times \\ & \left\{ \left[b_{ci} + 2\rho (\ctg \alpha_p + \ctg \psi) (h_k - h) \right] \frac{dh}{\sin \gamma} + [2(2h_k - 2h_k) \ctg \gamma + b_{ci} + 2h \cdot \ctg \gamma] \frac{dh}{\sin \gamma} \right\} + \\ & + 2c \cdot \cos \delta \cdot \cos \psi (\ctg \alpha_p + \ctg \psi) (h_k - h) \frac{dh}{\cos \lambda} = 0. \end{aligned} \quad (2)$$

Проінтегрувавши і спростилиши вираз (2), отримаємо рівняння для визначення питомого опору різання

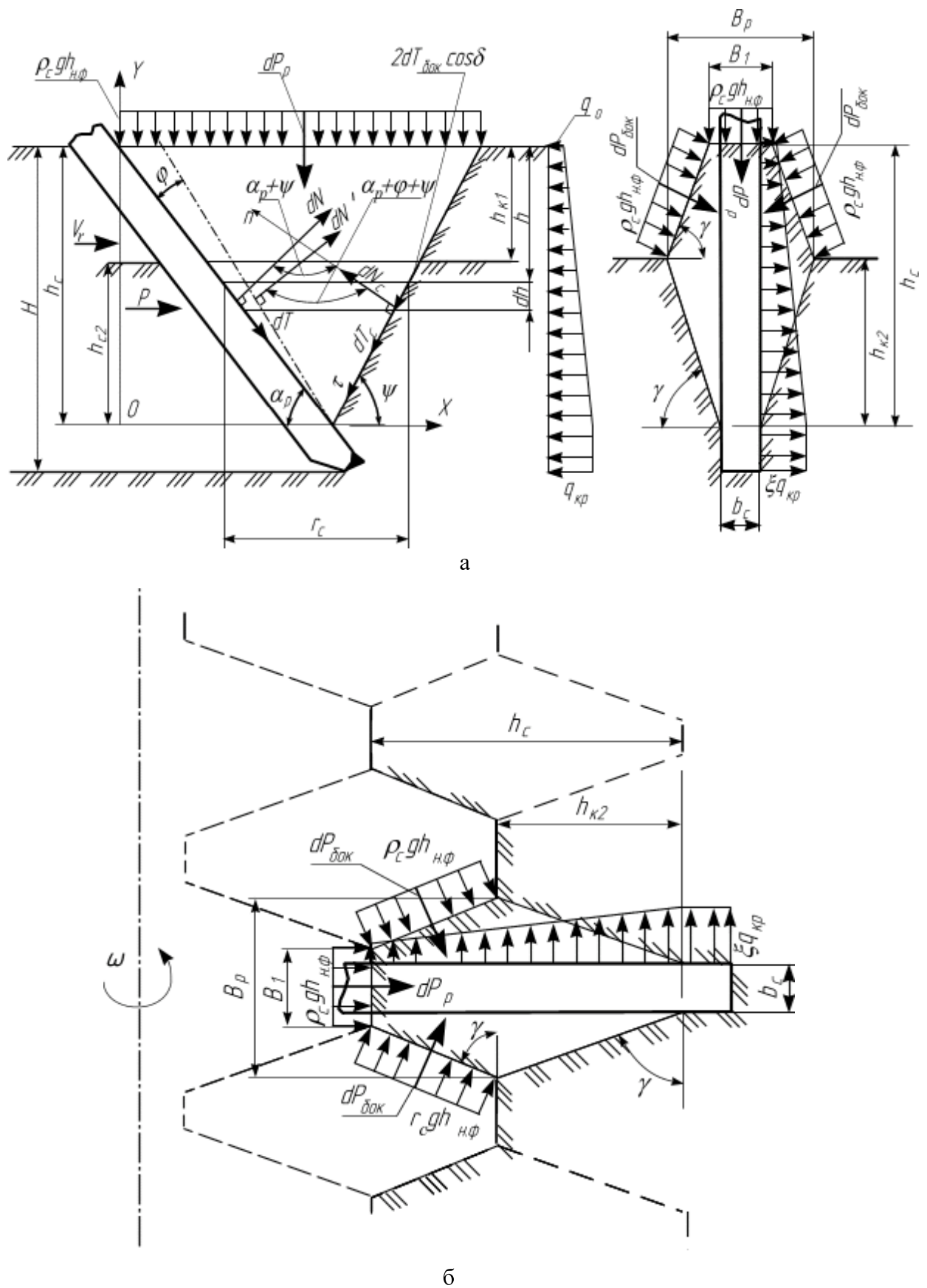


Рис. 1. Схема взаємодії ножа фрези з ґрунтом:

а - у поздовжній площині; б - у поперечній площині.

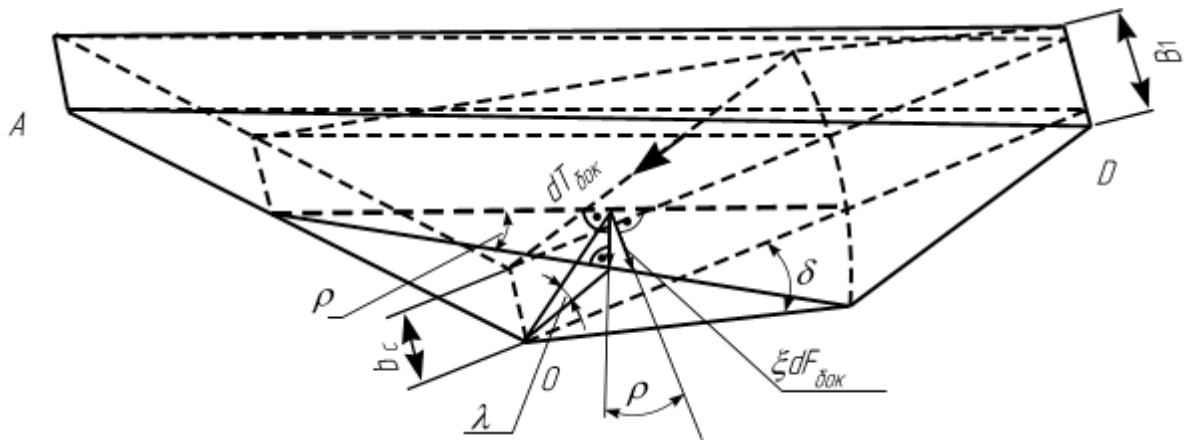


Рис. 2. Форма елемента стружки.

$$k = \left\{ 2(\operatorname{tg} \varphi_0 \cdot \cos \psi + \sin \psi) \left[\cos \psi \cdot \rho_c \cdot g \cdot h_{n,\phi} (\operatorname{ctg} \alpha_p + \operatorname{ctg} \psi) \left(b_{ci} + \frac{3}{2} \operatorname{ctg} \gamma \cdot h_k \right) - \right. \right. \\ \left. \left. - \frac{b_{ci} \cdot \cos(\alpha_p + \varphi + \psi)}{\cos \varphi \cdot \sin \alpha_p} \left(q_0 + \frac{q_{kp} - q_0}{2} k_{nep} \right) \right] + c \cdot \operatorname{ctg} \psi (3b_{ci} + \rho (\operatorname{ctg} \alpha_p + \operatorname{ctg} \psi) h_k + \right. \\ \left. \left. + 4 \operatorname{ctg} \gamma \cdot h_k \right) + \frac{c \cdot \cos \delta \cdot \cos \psi (\operatorname{ctg} \alpha_p + \operatorname{ctg} \psi) h_k}{\cos \lambda} \right\} / \left(2b_{ci} + \frac{2h_k}{\operatorname{tg} \gamma} \right). \quad (3)$$

Потужність, що затрачується на різання ґрунту визначається за формулою:

$$N_{pis} = k_e \cdot \sum_{i=1}^{i=z} N_{i,pis}, \quad (4)$$

де z – кількість ножів в забої;

k_e - коефіцієнт енергоємності.

$$N_{i,pis} = P_i \cdot V_a, \quad (5)$$

де P_i – опір різання ножем;

V_a - абсолютна швидкість

$$V_a = \sqrt{V_e^2 + V_r^2 + 2V_e V_r \cos \varphi_2}, \quad (6)$$

де φ_2 - кут повороту ножа при якому відбувається процес різання ($\varphi_2 = 0 \dots \pi$) п. 2.2;

V_e, V_r - відповідно переносна швидкості фрези і колової швидкості різальної кромки ножа.

Опір різання одним ножем визначаємо:

$$P_i = k \left(h_i \cdot b_{ci} + \frac{h_i^2}{2 \operatorname{tg} \gamma} \right), \quad (7)$$

де γ - кут бокового розширення ґрунту;

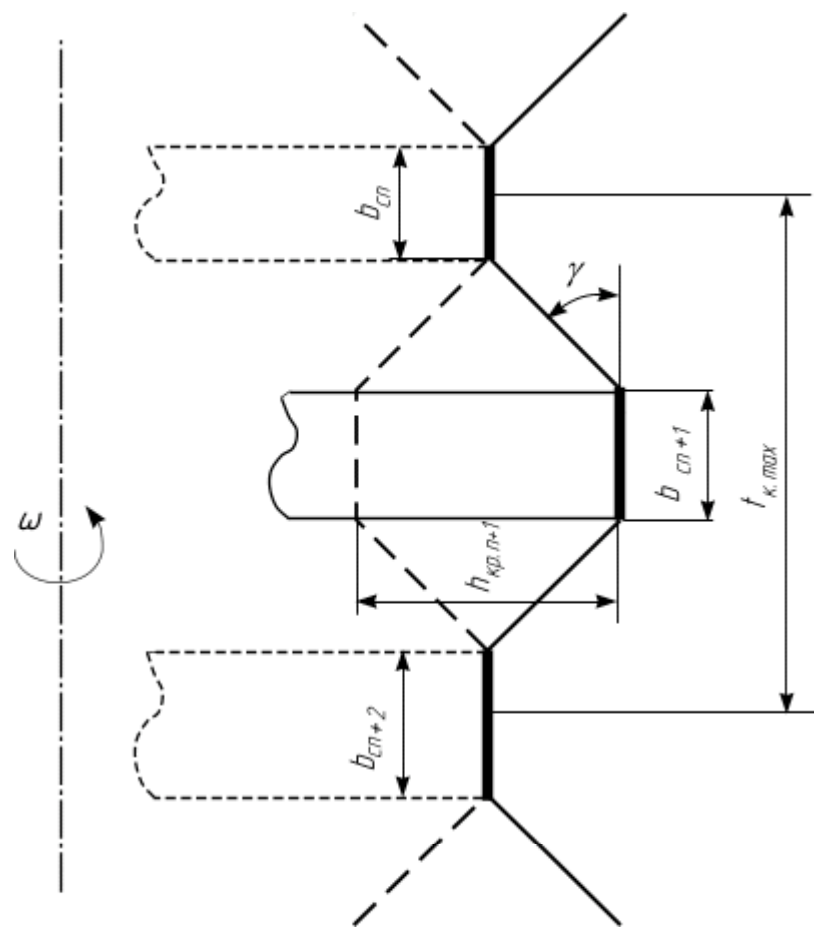


Рис.2. Схема розстановки ножів.

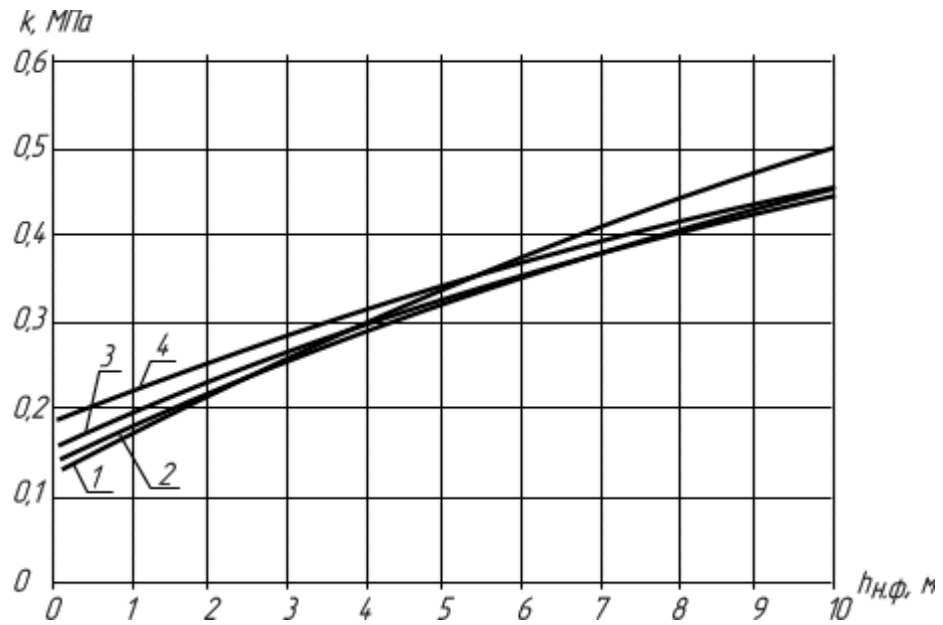


Рис. 3. Залежність питомого опору різання від глибини розташування ножа і кута різання (суглинок напівтврдий): 1 - $\alpha_p = 20^\circ$; 2 - $\alpha_p = 30^\circ$; 3 - $\alpha_p = 40^\circ$; 4 - $\alpha_p = 50^\circ$.

b_{ci} - поточна ширина ножа;

k – питомий опір різання;

h_i - товщина стружки в будь-який момент часу.

Максимальний крок між ножами одного заходу визначається:

$$t_{kp,max} = \frac{b_{cn}}{2} + b_{cn+1} + \frac{b_{cn+2}}{2} + \frac{h_{kp,n+1}}{\operatorname{tg}\gamma}. \quad (8)$$

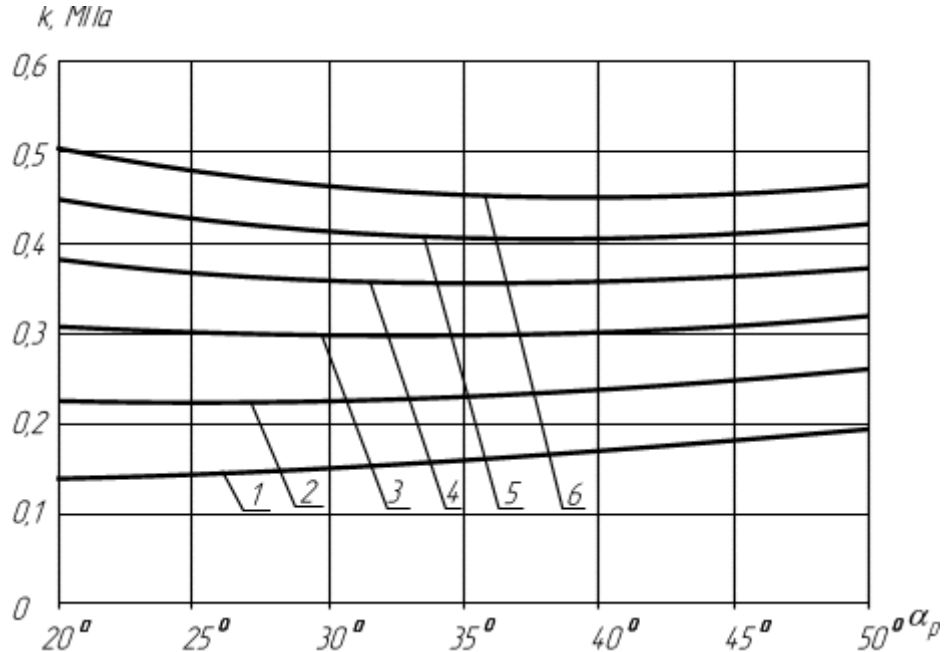


Рис. 4. Залежність питомого опору різання від кута різання глибини розташування ножа (суглинок напівтвердий): 1- $h_{h,\phi} = 0,1$ м; 2- $h_{h,\phi} = 0,2$ м; 3- $h_{h,\phi} = 0,4$ м; 4- $h_{h,\phi} = 0,6$ м; 5- $h_{h,\phi} = 0,8$ м; 6- $h_{h,\phi} = 1,0$ м.

Посилаючись на попередню статтю [1]. $h_{i,max} = h_{kp,n}$,

$$h_{kp,n} = 2h_k = -\frac{2a}{b}. \quad (9)$$

Тоді:

$$b_{ci} = -h_k \left[\begin{array}{l} 3 \operatorname{tg}\varphi_o \rho_c g h_{h,\phi} (\operatorname{ctg}\alpha_p + \operatorname{ctg}\psi) \operatorname{ctg}\gamma \cos\psi + c \rho (\operatorname{ctg}\alpha_p + \operatorname{ctg}\psi) / \sin\psi + \\ + 4c \cdot \operatorname{ctg}\gamma / \sin\psi + c (\operatorname{ctg}\alpha_p + \operatorname{ctg}\psi) \frac{\cos\delta}{\cos\lambda} + 3 \rho_c g h_{h,\phi} (\operatorname{ctg}\alpha_p + \operatorname{ctg}\psi) \operatorname{ctg}\gamma \sin\psi \\ - \operatorname{tg}\varphi_o \frac{\cos(\alpha_p + \varphi + \psi)}{\cos\varphi \sin\alpha_p} (2q_o + (q_{kp} - q_o)k_{nep}) + 2 \rho_c g h_{h,\phi} (\operatorname{ctg}\alpha_p + \operatorname{ctg}\psi) \times \\ \times (\operatorname{tg}\varphi_o \cos\psi + \sin\psi) + \frac{3c}{\sin\psi} - \frac{\sin(\alpha_p + \varphi + \psi)}{\cos\varphi \sin\alpha_p} (2q_o + (q_{kp} - q_o)k_{nep}) \end{array} \right] \quad (10)$$

Результати розрахунку питомого опору приведені у вигляді залежностей представлених на рис. 3 - 4.

Аналіз графічних залежностей вказує про суттєвий вплив на питомий опір різання глибини розташування ножа, при цьому останній, для реальних кутів різання, змінюється в межах 2 – 2,5 разів.

ЛІТЕРАТУРА

1. Кравець С.В. Вплив гідростатичного тиску на критичну глибину при комбінованому поярусному різанні ґрунту / С.В. Кравець, О.Л. Романовський, В.Д. Кирикович, І.М. Музичук // Вісник НУВГП – Рівне: 2007. – Вип. 3 (39) ч. 2 - С. 236-243.
2. Баладинский В.Л., Пузырев Ю.В., Смирнов В.Н., Кисленко А.А. Производительность и долговечность землеройных мелиоративных машин. – К.: Урожай, 1988. 152с.
3. Станевский В.П. Совершенствование рабочего процесса землеройных машин. – К.: Выща школа. Изд-во при КГУ, 1984. – 128с.
4. Баладинский В.Л., Баранников В.Ф., Ошапкаев Т.А. Механика рабочих процессов строительных машин. – Алма-Ата: ЛАФЦИПКС, 1982. – 160 с.
5. Томин Е.Д. Бестраншейное строительство закрытого дренажа. – М.: Колос, 1981. – 240с.
6. Зеленин А.Н., Баловнев В.И., Керов И.П. Машины для земляных работ. – М.: Машиностроение, 1975. – 424с.
7. Кравець С.В., Романовський О.Л., Нікітін В.Г., Кирикович В.Д. Робочий орган землерийної машини для добування корисних копалин. Деклараційний патент №62709 А. Офіційний бюллетень по справах винаходів і відкриттів, 2003 р., №12.
8. Романовський О.Л., Кирикович В.Д. Дослідження флотаційних властивостей бурштину. “Вісник” Український державний університет водного господарства та природокористування. Зб.наук. пр., випуск 2 (26). Рівне 2004, С. 323-328.

УДК 621.878.2::167.23

М.Е. ХОЖИЛО, аспірант.

*Державний вищий навчальний заклад
«Придніпровська державна академія будівництва та архітектури»*

ЕКСПЕРИМЕНТАЛЬНЕ ДОСЛІДЖЕННЯ ПРОЦЕСУ ВЗАЄМОДІЇ РІЗАЛЬНО-МЕТАЛЬНОГО РОБОЧОГО ОРГАНА З ГРУНТОМ

Актуальність проблеми. Підвищити ефективність виконання земляних робіт дозволяють землерийно-транспортні машини безперервної дії, наприклад у вигляді грейдер-елеваторів, стругів-кидачів, а також багатоковшеві екскаватори. У серійних конструкціях